

плотности жидкости и значению скорости потока на бесконечности. При плоском обтекании идеальной жидкостью крыла с острой задней кромкой величина  $C_x$  с. определяется *Чаплыгина — Жуковского постулатом*. При обтекании крыла конечного размаха, хорда к-рого в плане меняется,  $C_x$  с. вдоль размаха крыла также меняется.

Лит. см. при ст. *Механика*.

Л. Г. Лойцянский.

**С-ЧЁТНОСТЬ** — то же, что *зарядовая чётность*.

**СО<sub>2</sub>-ЛАЗЕР** — *газовый лазер*, к-рый генерирует и усиливает эл.-магн. излучение на переходах между колебат. уровнями осн. электронного состояния молекулы двуокиси углерода. Генерация получена на большом числе (неск. тысяч) колебательно-вращат. переходов в ср. ИК-диапазоне (рис. 1). Мощность генерации в непрерывном режиме достигает сотен кВт, энергия излучения в импульсном режиме — десятков кДж, кпд генерации — до 15—20%.

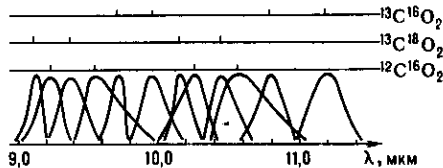


Рис. 1. Огибающие интенсивностей колебательно-вращательных переходов основных полос для изотопов СО<sub>2</sub>.

СО<sub>2</sub>-л. широко применяются в таких областях, как технология обработки материалов, лазерный УТС, научные исследования, селективная лазерная химия, лазерная термодимия и разделение изотопов, исследование окружающей среды, локация, связь и др.

Впервые генерация на молекулах СО<sub>2</sub> получена К. Пателом (С. К. N. Patel) в 1964 путём смешения углекислого газа с потоком молекул N<sub>2</sub>, возбуждённых в газовом разряде.

Молекула СО<sub>2</sub> линейна и в изотопических модификациях с одинаковыми атомами кислорода симметрична. В осн. электронном состоянии при  $l=0$  у колебат. состояний, симметричных по отношению к перестановке атомов кислорода, вращат. квантовые числа  $J$  чётные, у антисимметричных состояний — нечётные. Поэтому в осн. полосах 9,4 мкм и 10,4 мкм (см. табл. и рис. 2) и соответствующих полосах секвенции ( $00^0v \rightarrow 10^0v-1, 02^0v-1$ ) существуют только переходы  $P$ - и  $R$ -ветви ( $J \rightarrow J-1$ ) и ( $J \rightarrow J+1$ ),  $J$  — вращательное квантовое число ниж. уровня перехода (см.

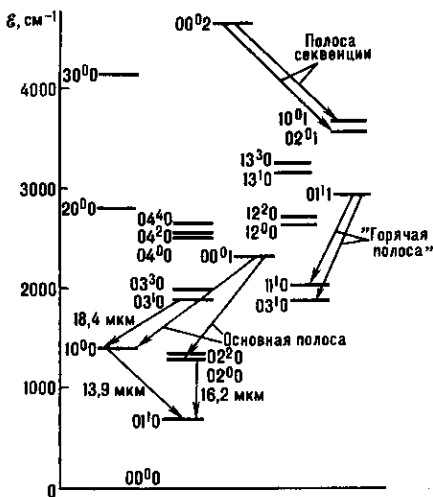


Рис. 2. Схема нескольких нижних колебательных уровней основной изотопической модификации (<sup>12</sup>С<sup>16</sup>О<sub>2</sub>) молекулы СО<sub>2</sub>. Стрелками обозначены некоторые лазерные переходы; наиболее сильные из них — с уровня 00<sup>0</sup>1 на уровни 10<sup>0</sup>0 и 02<sup>0</sup>0.

Энергии некоторых лазерных колебательных уровней <sup>12</sup>С <sup>16</sup>О и длины волн  $\lambda$  переходов между ними

Верхнее состояние		Нижнее состояние		
$v_1 v_2 v_3$	$\epsilon_2, \text{см}^{-1}$	$v_1 v_2 v_3$	$\epsilon_1, \text{см}^{-1}$	$\lambda, \text{мкм}$
02 <sup>0</sup> 0	1285,8	01 <sup>1</sup> 0	667,4	16,17
10 <sup>0</sup> 0	1388,1	01 <sup>1</sup> 0	667,4	13,88
00 <sup>0</sup> 1	2349,4	02 <sup>0</sup> 0	1285,8	9,40
00 <sup>0</sup> 1	2349,4	10 <sup>0</sup> 0	1388,1	10,40
03 <sup>0</sup> 0	1932,5	10 <sup>0</sup> 0	1388,1	18,37
01 <sup>1</sup> 0	3004,0	13 <sup>1</sup> 0	1932,5	9,33
01 <sup>1</sup> 1	3004,0	11 <sup>1</sup> 0	2076,9	10,79
00 <sup>0</sup> 2	4673,3	02 <sup>0</sup> 1	3612,8*	9,43
00 <sup>0</sup> 2	4673,3	10 <sup>0</sup> 1	3714,8*	10,43
10 <sup>0</sup> 1	3714,8	10 <sup>0</sup> 0	1388,1	4,30

\* Генерация была получена также на всех полосах секвенции  $00^0v \rightarrow 10^0v-1$  и  $00^0v \rightarrow 02^0v-1$  при  $v < 6$ .

*Молекулярные спектры*. [В обозначениях уровней квантовых числа  $v_1 v_2 v_3$  соответствуют числам квантов симметричного, деформационного и антисимметричного типов колебаний молекул (мод); число  $l$  связано с вырождением деформационной моды и определяет величину момента импульса колебательного движения, направленного вдоль оси молекулы.] При  $|l| \neq 0$  ограничений по чётности  $J$  нет; причём  $J \geq 1$ , в колебательно-вращат. спектре присутствуют также переходы  $Q$ -ветви  $J \rightarrow J$  [«горячие» полосы ( $01^11 \rightarrow 13^10, 11^10$ ), длинноволновые переходы]. Если атомы кислорода в молекуле относятся к разным изотопическим модификациям, то также нет ограничений по чётности  $J$  и в колебательно-вращат. спектре присутствуют переходы всех трёх ветвей независимо от величины  $l$ .

**Принцип действия СО<sub>2</sub>-л.** можно объяснить с помощью известной в *квантовой электродинамике* 4-уровневой схемы с учётом особенностей кинетики колебат. уровней молекул. Ниж. уровни колебат. мод в первом приближении можно рассматривать как расположенные эквидистантно по энергии состояния гармонических осцилляторов. При столкновениях одинаковых молекул переходы между уровнями одной моды имеют резонансный характер и происходят с частотой, как правило, значительно превышающей частоты накачки и столкновительной дезактивации. Вследствие этого устанавливается больцмановское распределение населённости этих уровней, характеризующее колебат. темп-рой моды. Термодинамически неравновесный характер состояния молекул проявляется в отличии темп-р мод друг от друга и от темп-ры поступательных и вращат. степеней свободы молекул. Процессы преобразования энергии, в ходе к-рых образуется инверсная населённость, происходят между блоками уровней, принадлежащих к отд. модам. Энергии переходов между компонентами мультиплетов с отличающимися на единицу числом квантов деформационной моды не равны кванту этой моды, но различаются не слишком сильно. При темп-рах, характерных для большинства режимов работы СО<sub>2</sub>-л., распределение населённости уровней смешанных мод, пренебрегая неэквидистантностью, можно считать больцмановским с общей темп-рой.

Осн. процессы, определяющие населённости лазерных уровней молекул СО<sub>2</sub>, показаны на рис. 3. Уровень 00<sup>0</sup>1 относится к блоку уровней антисимметричной моды, уровни 10<sup>0</sup>0 и 02<sup>0</sup>0 — к блоку уровней смешанных мод. Лазер работает следующим образом. Источник накачки возбуждает с частотой  $P_{04}$  колебания молекул — накопителей энергии, в качестве к-рых чаще всего используют молекулы азота. Столкновительная

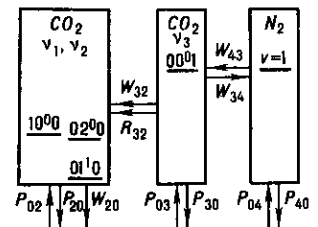


Рис. 3.